ВЗАИМОДЕЙСТВИЕ ИНЕРТНЫХ ГАЗОВ С МЕТАЛЛАМИ ПРИ ИОННОЙ БОМБАРДИРОВКЕ В ПЛАЗМЕ ДУГОВЫХ РАЗРЯДОВ

Д.С.Герцрикен¹⁾, В.М.Миронов²⁾, Д.В.Миронов²⁾, А.В. Рясный¹⁾ В.М.Тышкевич¹⁾

¹⁾Институт металлофизики им.Г.В.Курдюмова НАН. Украины, 01680, Киев-142, бул. Вернадского, № 36, (044)4440531, Украина, е-mail: bob@t.kiev.ua

²⁾Самарская государственная сельскохозяйственная академия, 446409, п. Усть-Кинельский Самарской обл., ул. Учебная, № 2, Россия, е-mail: dmiron@mail.samtel.ru

С помощью методов, основанных на применении радиоактивных изотопов, рентгенострурного и микрорентгеноспектрального анализов изучали перераспределение собственных атомов и инертных газов в металлах, обрабатываемых в плазме тлеющего разряда, при дополнительном наложении электрической дуги низкого давления. Установлены скорости миграции, глубины проникновения и формы концентрационных профилей и особенности распределения на микроуровне при действии дуговых разрядов.

Введение

Для изучения закономерностей поведения атомов инертных газов в кристаллической решетке твердых тел необходимо обеспечить эффективное насыщение газами как поверхности, так и объема металлических материалов. Одним из универсальных способов введения примесей в любой материал в строго контролируемом количестве, широко применяемым для легирования приповерхностных слоев, является ионная имплантация, основанная на бомбардировке поверхности твердых тел потоками высокоэнергетических ионов, источниками которых служат различные инжекторы заряженных частиц. В качестве высокоинтенсивного источника ионов с успехом может быть использована и низкотемпературная газоразрядная плазма, в частности, тлеющий и дуговой разряды. Однако обработка в тлеющем разряде является длительным процессом от нескольких до нескольких десятков часов [1]. Тем не менее можно повысить интенсивность обработки поверхности металлов путем использования комбинированного воздействия тлеющего разряда и импульсной электрической дуги низкого давления [2].

Основная часть

Обработку алюминия, титана, железа, никеля, нержавеющей стали в тлеющем разряде осуществляли в камере диодного типа диаметром 150 мм, изготовленной из нержавеющей стали. Расстояние между анодом, представляющим собой полый молибденовый цилиндр диаметром 30 мм и длиной 40 мм, и катодом составляло 150 200 мм. Образцы помещали в вакуумную камеру, которую откачивали до 10-4 Па и заполняли через систему напуска и очистки газовой средой до давления 10 - 1500 Па. Газовыми средами служили аргон, криптон ⁸⁵Кг и азот. Плотность тока составляла 0,5 - 40 мА/см² и ограничивалась как режимом горения тлеющего разряда, так и температурой образцов, не превышавшей 473 - 493 К. Перевод тлеющего разряда в дуговой, который позволяет производить циклическую обработку образцов, достигался путем плавного изменения напряжения в разрядном промежутке до достижения пробоя за счет параллельного подключе ния к аноду и катоду конденсатора с рабочим напряжений 3 кВ и емкостью 100 мкФ.

Кроме того для исследования влияния ионной бомбардировки в тлеющем и дуговом разрядах на перераспределение и миграцию собственных атомов поверхностных слоев на поверхность образцов электролитически наносили р/а изотопы титана ⁴⁴ п. железа ⁵⁵Fe и никеля ⁶³Ni.

Для изучения распределения бомбардирующих ионов и атомов поверхностного слоя, проникающих с поверхности в глубь металла в процессе обработки в тлеющем разряде, использовали микрорентгеноспектральный, рентгеноструктурный, авторадиографический и послойный радиометрический. При этом учитывалось влияние на реальную координату (hi) каждого слоя относительно поверхности значительного изменения плотности приповерхностных слоев, обусловленного введением в металл больших количеств газа, находящегося как в твердом растворе, так и газонаполненных порах. Обычно расчет величины h_i , т.е. глубины проникновения меченых атомов проводят по формуле: $h_i = h_0/P_0 \cdot (P_0 - P_i)$, где h_0 и P_0 начальные высота и масса образца, Рі – масса образца после снятия і-того слоя. Для точного определения координаты снятого слоя методом взвешивания при послойном радиометрическом анализе остаточной интегральной В-активности образца необходимо строить специальные графические зависимости, позволяющие переходить от значения глубины проникновения, измеренному весовым методом, к реальному значению. Для этого толщины снимаемых слоев определяют как весовым методом (Х), так и непосредственным измерением с помощью оптического микроскопа (х 600) или по авторадиограммам "косого" шлифа (h). Наиболее сильно наличие газа проявляется на начальных участках концентрационной кривой. Согласно данным гидростатического взвешивания, для алюминия в слое толщиной 20 - 25 мкм, согласно данным гидростатического взвешивания, уменьшение плотности составляет от 4 до 5 % . В слое от 30 до 50 мкм - менее 1 % и на глубине ~ 70 мкм плотность обработанного металла становится сравнимой с плотностью исходного. Для титана изменение плотности является значительным в слое порядка 10 - 15 % мкм. Для железа, никеля и X18H10T — в слое ~ 5 - 10 мкм. При бомбардировке ионами азота данный эф фект выражен гораздо слабее, так как введение азота не приводит к образованию и развитию пористости. Однако его также необходимо принимать в расчет при определении координаты снятого слоя.

Проведенные эксперименты показали, что подобная комбинированная обработка сопровождается резким увеличением подвижности мигрирующих атомов. Скорость проникновения аргона и криптона в различные обрабатываемые материалы увеличиваются более, чем на 1,5 - 2 порядка. Например, для стали Х18Н10Т значения коэффициентов диффузии Кг составляют 8,1-10 3 и $3.3\cdot 10^{-11}~{
m cm}^{2}/{
m c}$ соответственно для тлеющего и комбинированного разрядов, для железа эти величины равны $2,5\cdot10^{-14}$ и $6,8\cdot10^{-11}$ см 2 /с. При бомбардировке титана ионами аргона и азота это увеличение составляет соответственно 1,3 и 1 порядок. Аналогичным образом для никеля при бомбардировке ионами криптона, аргона и азота отмечен меньший прирост подвижности бомбардирующих ионов при комбинированном воздействии по сравнению с тлеющим разрядом. В то же время прирост значений Dкг и DAг практически одинаков. И сами значения коэффициентов мало отличаются друг от друга. Глубина проникновения криптона в алюминий увеличивается в ~ 6 раз и становится равной 0,25 мм всего за 8 минут обработки (рис. 1). При этом подвижность атомов криптона в алюминии достигает величины 1,0.10 см2/с, в то время как для проникновения атомов в условиях воздействия только тлеющего разряда характерно значение 2,1·10⁻⁹ см²/с. Однако, при этом в силу специфики возникновения электрической дуги наблюдается неравномерное распределение проникающих атомов по поверхности, которое сохраняется на значительных глубинах до ~ 0,1 мм. Тем не менее, как видно из рис. 1, зависимость логарифма концентрации от квадрата глубины $\lg C = f(X^2)$ является прямой линией подобно тому, что наблюдается при обработке в тлеющем разряде с малой длительностью бомбардировки.

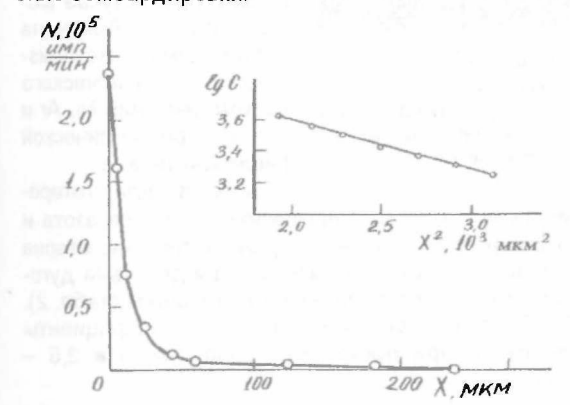


Рис. 1. Концентрационный профиль распределения криптона 85 Kr в алюминии под действием тлеющего и дугового разрядов в течение 8 мин. при температуре $\sim 500 \text{ K } (D_{\text{of}} = 1 \cdot 10^{-7} \text{ cm}^2/\text{o})$ и зависимость $\text{lgC} = f(X^{\circ})$

Отметим, что концентрационный профиль аргона в алюминии также описывается экспоненциальной зависимостью, и его глубина проникновения отличается от X_{Kr} на 8 – 10 %.

Проникновение инертных газов в аустенитную сталь характеризуется меньшим, чем для алюминия, приростом глубины проникновения - примерно в 2,5 - 3 раза (рис. 2). Однако прямая пропорциональность между логарифмом концентрации криптона и квадратом глубины его проникновения сохраняется. Аналогичные закономерности имеют место для Ni, α -Ti и α -Fe при таком же времени обработки (табл. 1).

Таблица 1

Глубины проникновения Кг и Аг (Х, мкм)

Металл		Титан (ГПУ)	Железо (ОЦК)	Никель (ГЦК)
Kr	Хтл.	10	8	4
	X _{ayr} .	22	19	11
	Хтл.	10	8	5
Ar	Xave	X _{nvr} 23 20	20	12

Следовательно, увеличение глубины проникновения атомов инертного газа под действием тлеющего разряда и электрической дуги проявляется на металлах, обладающих различным типом кристаллической структуры.

1500 - 2 500 - X, MKM

Рис. 2. Распределение атомов криптона в стали под действием тлеющего и дугового разрядов в течение 0,5 4 (1) и тлеющего разряда в течение 1 4 (2)

Авторадиографические исследования, показали, что на поверхности металла при обработке

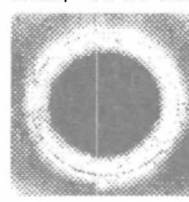


Рис. 3. Распределение а гомов [∞]Кг на поверхности Fе при обработке в тлеющем разряде

в тлеющем разряде возникает неравномерное распределение проникающих атомов в виде нескольких концентрических кругов (рис. 3), причем инертный газ содержится только в средней части и на боковых стенках образца [3,4]. Такое распределение сохраняется на протяжении всей глубины проникновения инертных газов. Наложение дуговых разрядов всего за несколько

минут приводят к перераспределению атомов как на поверхности, так и в слоях, параллельных поверхности и находящихся в объеме металла до глубин, составляющих от трети до половины всей протяженности диффузионной зоны (рис. 4). Однако на интегральной активности образцов в каждом слое эта неравномерность не сказывается (рис. 1, 2).

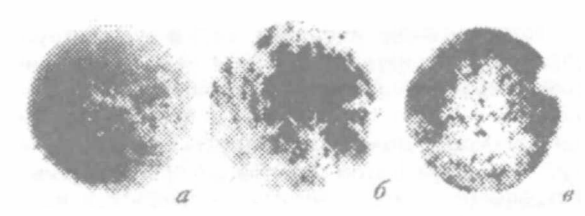


Рис. 4. Распределение атомов криптона в железе на поверхности (a) и в параллельных поверхности плоскостях на глубине 0,9 мкм (б) и 1,6 мкм (е) после комбинированной обработке в тлеющем и дуговом разрядах в течение 0,5 ч

Следует обратить, что на распределение атомов не влияет предшествовала ли комбинированной обработке длительная ионная бомбардировка в тлеющем разряде или к режиму дуговых разрядов переходили в первые же секунды обработки.

Переход режима горения разряда из тлеющего в режим импульсной электрической дуги низкого давления влияет не только на глубину проникновения бомбардирующих ионов, но и на скорость перемещения в глубь обрабатываемого металла атомов поверхностного слоя, нанесенных на поверхность перед ионной бомбардировкой (рис. 5).

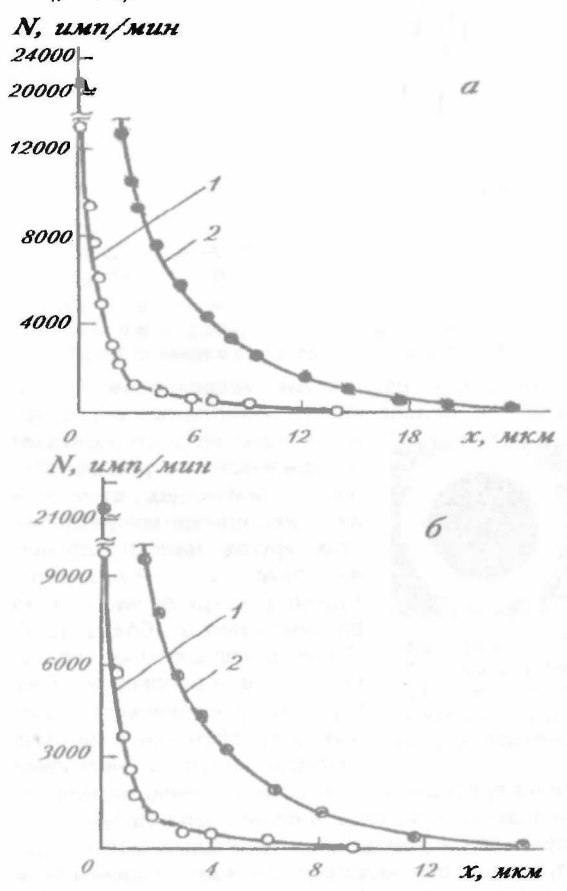


Рис. 5. Распределение атомов $^{\circ\circ}$ Ni в Ti при обработке в тлеющем разряде в течение 1 $^{\prime}$ ($^{\prime}$) и комбинированном тлеющем и дуговом разрядах при $^{\prime}$ = 20 мин. ($^{\prime}$) в среде аргона ($^{\prime}$) и азота ($^{\prime}$ 6)

Коэффициенты диффузии никеля в титан при действии только тлеющего и комбинированного тлеющего и дугового разрядов составляют соответственно 7,5·10⁻¹³ и 5,2·10⁻¹¹ см²/с (бомбардировка ионами аргона) и 3,3·10⁻¹³ и 2,2·10⁻¹¹ см /с (бомбардировка ионами азота). Как и для тлеющего разряда [4,5], при уменьшении времени обработки дуговыми разрядами снижается глубина проникновения никеля, азота и аргона, но не пропорционально времени, и скорость их миграции растет. Так, при уменьшении $v_{\rm для}$ в 2 раза

 $D_{Ni \to Ti}^{N_2}$ =4,1·10⁻¹¹ см²/с, $D_{Ni \to Ti}^{Ar}$ =7,5·10⁻¹¹ см²/с. Отметим, что глубины проникновения и коэффициенты диффузии никеля выше при бомбардировке ионами аргона как в тлеющем, так и дуговом разрядах. Кроме того атомы никеля проникают в титан на большую глубину, чем атомы азота (в 2 раза) и аргона (в 1,5 раза). Можно предположить, что все это связано с меньшей массой бомбардирующего иона, но более вероятным представляется другое объяснение. В процессе миграции атомы никеля растворяются в кристаллической решетке титана, образуя твердый раствор замещения, в то время как атомы азота образуют незначительное количество раствора внедрения в титане и нитриды Ti_2N и Ni_3N , сегрегирующие

вблизи облучаемой поверхности (рис. 6), а атомы



Рис. 6. Микроструктура Ті с никелевым покрытием после обработки дуговыми разрядами в среде азота в течение 1,5 ч, х 300

аргона создают твердые растворы вычитания в никеле и титане и мелкодисперсные газонаполненные поры, равномерно распределенные в матрице. Следовательно, большая подвижность атомов поверхностного слоя по сравнению с бомбардирующими ионами в этом случае может быть объяснена различными механизхимического взаимодействия Ni, Ar и N₂ с кристаллической решеткой титана.

Как и для гетеродиффузии (Ni ⇒ Ti) и проникновения ионов азота и инертных газов, для самодиффузии тоже характерна большая подвижность атомов при действии дуговых разрядов по сравнению с тлеющим (табл. 2). При бомбардировке ионами азота коэффициенты диффузии при обеих обработках ниже в 2,5 — раза.

Таблица 2 Коэффициенты самодиффузии (*D*, см²/с) при обработке тлеющими (30 мин.) и дуговыми (5 мин.) разрядами в среде аргона

Металл	Титан	Железо	Никель
$D_{\tau n}$	1,0.10	5,8-10 12	9,9 10-13
Davr	9,7.10	6,1-10 11	1,1.10

Заключение

Из анализа приведенных результатов следует, что комбинированная обработка тлеющим разрядом и электрической дугой низкого давления является весьма перспективной для ускоренного насыщения приповерхностных слоев и объема металла инертными газами и другими элементами, причем можно создавать заданные концентрационные профили.

Список литературы

- Лариков Л.Н, Гуревич М.Е, Тышкевич В.М., Фальченко В.М. // УФЖ. - 1979. - 24, № 5. - С. 658- 662.
 Герцрикен Д.С, Мазанко В.Ф., Миронов В.М., Ми-
- Герцрикен Д.С, Мазанко В.Ф., Миронов В.М., Миронов Д.В., Рясный А.В. // Взаимод. излучений с твердым телом: Материалы IV Международной конференции. Мн., 2001, С. 88-88.
- 3. *Геририкен Д.С, Тышкевич В.М., Юрик Т.В. //* Доповіді НАНУ. 1993.– № 10. С. 118-121.
- Бобырь С.А., Герцрикен Д.С., Миронов В.М., Тышкевич В.М. // Взаимод. излучений с твердым телом: Материалы IV Международной конференции. - Мн., 2001, С. 60-63/
- Геририкен Д.С, Тышкевич В.М., Юрик Т.В. // Металлофизика. 1990. 12, № 4. С. 55-57.

INTERACTION OF INERT GASES WITH METALS AT AN ION BOMBARDMENT IN PLASMA OF ELECTRIC ARCS

D.S.Gertsriken¹⁾, V.M.Mironov²⁾, D.V.Mironov²⁾, A.V.Riasniy¹⁾, V.M.Tyshkevich¹⁾

¹⁾The Physics of Metal Institute in the name of G.V.Kurdiumov of the National Academy of Sciences of Ukraine, 01680, Kiev-142, Vemadsky avenue, 36, (044) 4440531, Ukraine.

²⁾Samarsky State Agricultural Academy, 446409, Ust – Kinelsky village by the Samara province, Utchebnaij street., 2, Russia.

Processes of self- and heterodiffusion and penetration of bombarding ions into metals subjected to processing in plasma of a glow discharge and combined processing consisting of a glow discharge and an electric arc of low pressure were studied by methods of radioactive indicators – radiometric sectioning, microautoradiography and autoradiography by electron microscope, microX-ray and X-ray diffraction analyses. The experiments realized on metals with the different type of a crystal lattice: aluminum, nickel, austenitic of steel (face-centered cubic lattice – f.c.c.), titanium (close-packed hexagonal lattice – c.p.h.) and iron (body-centered cubic lattice – b.c.c.). An argon, krypton and nitrogen were applied as bombarding ions. The difference in mobility of atoms and bombarding ions, depthes of their penetration, forms of the concentration profiles, phase compositions of a diffusion zone at both processing are determined. The redistribution of radioactive traces on a surface and in a parallel surface planes under electric arc loading after glow discharge is installed. The output is made about acceleration of diffusion processes at operation on metals of electric arcs.